

AcNPV 감염 조건이 *Spodoptera frugiperda* 21 세포에서의 재조합 단백질 생산에 미치는 영향

김지선 · 이기웅 · 강석권¹ · 양재명² · 정인식*

경희대 유전공학과, ¹서울대 농생물학과, ²서강대 생물학과

Effect of AcNPV Infection Conditions on Recombinant Protein Production in *Spodoptera frugiperda* 21 Cells

Kim, Jee-Sun, Ki-Woong Lee, Seok-Kwon Kang¹,
Jai-Myung Yang² and In-Sik Chung*

¹Department of Genetic Engineering, Kyung Hee University, Suwon 449-701, Korea

¹Department of Agricultural Biology, Seoul National University, Suwon 441-744, Korea

²Department of Biology, Sogang University, Seoul 120-749, Korea

Abstract — The effect of AcNPV infection conditions such as serum concentration, pH, CaCl₂, lysosomotropic agent, cell density at infection, agitation, aeration and nutritional supplementation on recombinant protein production in *Spodoptera frugiperda* 21 cells was investigated using tissue culture flask, bottle and spinner flask. It was shown that serum, CaCl₂, pH and cell density at infection affected recombinant protein production. The lysosomotropic agent did not significantly influence recombinant protein production. Increased β -gal production was obtained at 100 rpm in the media containing 0.3% methylcellulose. Aeration at the rate of 25 ml/min using silicone tubing method resulted in higher β -gal production. It was shown that fructose and glutamate supplementation improved β -gal production in an AcNPV-infected cell.

Autographa californica nuclear polyhedrosis virus (AcNPV)는 생물학적 살충제로써 뿐만 아니라 세균, 효모, 식물, 포유 동물로부터 온 외부 유전자에 대한 효율적인 발현 벡터로써 널리 이용되고 있다(1-3). AcNPV는 강력한 promoter를 가지고 있는 polyhedrin 유전자에 의해 유전자를 삽입시킬 수 있으며 post-translational modification이 원활히 이루어지며 발현 후의 생물학적 활성도가 높다(4-5). AcNPV는 이러한 여러가지 장점 때문에 분자 수준에서의 단백질 기능에 대한 이해 뿐만 아니라 유전자의 작용 조절 기작에 대한 곤충 바이러스의 연구를 위해서도 많이 이용되고 있다(6-8).

현재 확립된 곤충 세포주는 *Aedes albopictus*, *Aedes*

aegypti, *Drosophila melanogaster*, *Bombyx mori*, *Spodoptera frugiperda*, *Trichoplusia ni* 등 여러 종류가 있으나 Lepidoptera로부터 만들어진 두 종류의 세포주가 AcNPV 발현 벡터의 숙주 세포로 주로 이용되고 있으며 이들은 fall army worm에서 유기된 *S. frugiperda*와 cabbage looper에서 유기된 *T. ni*이다. 그런데 *T. ni* 세포는 attachment dependent 세포이므로 혼탁 배양이 가능한 *S. frugiperda*가 산업적으로 이용 가능성이 높은 것으로 알려져 있다(9).

곤충 세포-AcNPV 시스템을 이용하여 재조합 단백질을 생산하고자 할 때 중요한 것은 효율적으로 대량 생산해내는 일이다. 그래서 이러한 시스템을 효과적으로 활용하기 위해서 세포 배양 조건, 무혈청 배지, 고농도 세포 배양용 생물 반응기 등에 대해서 많은 연구가 수행되고 있다(10-14). 그리고 재조합 단백질의 생산은 곤충 세포에의 재조합 AcNPV의 감염 과정과 밀접한 관계를 가지고 있어 AcNPV 복제 및 단백질

Key words: Recombinant protein production, *Spodoptera frugiperda* 21, *Autographa californica* nuclear polyhedrosis virus, infection

*Corresponding author

생산에 필요한 DNA 및 단백질의 합성과 같은 세포의 생리적인 기능도 감염 환경 인자에 좌우될 수 있으므로 곤충 세포에서의 AcNPV에 의한 재조합 단백질 생산이 AcNPV 감염 조건에의 의존성에 대한 이해가 필요하다. 곤충 세포에 AcNPV가 감염될 때 감염 배지 중의 serum 농도 및 감염시의 세포 농도 등이 재조합 단백질 생산에 미치는 영향은 일부 보고된 바(15-17)가 있으나 감염 환경 인자와 재조합 단백질 생산과의 관계에 대한 체계적인 연구는 부족한 실정이다. 따라서 본 연구에서는 재조합 AcNPV에 의해 *S. frugiperda* IPLB-Sf-21가 감염될 때 혈청의 농도, pH, CaCl₂의 농도, lysosomotropic agent, 감염시의 cell density, 교반 속도, 통기 및 영양원 첨가가 재조합 단백질 생산에 미치는 영향을 조사하였다.

재료 및 방법

세포주와 배지

본 실험에 사용된 곤충 세포주는 *S. frugiperda* IPLB-Sf-21(SF-21)이다(14). Sf-21는 명시되지 않은 경우에 곤충 세포 배양용 Grace의 insect medium(Gibco)에 FBS 10%와 gentamycin sulfate 50 µg/ml, fungizone 2.5 µg/ml 및 sodium bicarbonate 0.35 g/ml가 첨가된 배지에서 배양되어졌다. 배지의 pH도 명시되지 않은 경우에는 6.2로 맞추어 사용하였다. 감염 배지로서는 Grace 배지에 gentamycin sulfate 50 µg/ml, fungizone 2.5 µg/ml 및 sodium bicarbonate 0.35 g/ml가 첨가된 배지 외에 FBS, 당, 아미노산, pH, CaCl₂ 또는 lysosomotropic agent가 조정된 배지를 이용하였다. 그리고 모든 배지는 0.2 µm cellulose nitrate membrane filter로 여과 살균하였다.

감염 조건 영향 실험

감염시 환경 조건으로 교반 속도, 통기량의 영향에 대한 실험은 bottle 및 spinner reactor를 사용하였으며 기타 명시되지 않은 경우에는 tissue culture flask(25 cm²)를 이용하였다. 통기량의 영향을 조사하기 위한 실험에서는 실리콘 튜브를 이용하여 생물 반응기에 통기하였다. 실리콘 튜브(직경 1 mm, 길이 750 mm)는 reactor(working volume 250 ml, Techne) 내부에 세 번 둘러 감았으며 튜브에 주입한 공기의 양은 air flow meter로 측정하였다.

재조합 바이러스

Polyhedrin promoter 하단부에 대장균의 β-galactosidase 유전자가 삽입된 재조합 AcNPV를 사용하였다(14). 재조합 AcNPV를 곤충 세포에 감염시킬 경우 tissue culture flask, bottle 및 spinner reactor에서 multiplicity of infection(MOI)가 각각 0.5, 10, 10이 되도록 하였다.

세포의 생존도, 재조합 AcNPV의 수 및 재조합 단백질 측정

곤충 세포의 수는 hemacytometer로 측정하였고 세포의 생존도는 0.4% trypan blue dye exclusion 방법으로 침색하여 측정하였다(14). 재조합 AcNPV의 수는 plaque assay를 이용하여 측정하였다(18). 재조합 AcNPV에 의해 감염된 세포로부터 만들어지는 재조합 단백질의 생산은 Miller의 β-galactosidase assay 방법을 이용하여 그 활성도를 측정하였다(19).

결과 및 고찰

곤충 세포에서 재조합 AcNPV의 증식은 감염과정의 여러가지 요인들에 의해 그 정도의 차이가 생길 수 있으며 재조합 AcNPV에 의한 단백질 생산량도 달라질 수 있다. 따라서 재조합 AcNPV가 곤충 세포에 감염될 때 감염시의 여러가지 환경 인자들이 세포의 β-galactosidase(β-gal) 생산에 미치는 영향을 조사하였다. 각각의 환경 인자에 대하여 명시된 경우를 제외하고 초기의 세포 농도는 tissue culture flask에서 1~2×10⁶ cells/plate였고 suspension culture에서는 1~2×10⁵ cells/ml이었으며, 감염 후 4일째의 β-gal 생산량으로 비교하였다.

감염 배지 중의 serum 농도

Fig. 1은 FB serum을 0, 2, 4, 6, 8, 10%로 보강한 각각의 배지에서 감염 시켰을 때 감염된 바이러스의 β-gal assay 결과를 나타낸 것이다. FB serum의 농도가 증가할수록 β-gal의 생산도 증가하였으며 10%로 보강한 경우에 18 units/ml로서 가장 높게 나타났다. 이러한 실험 결과는 감염 배지 중의 serum 농도가 0.5%에서 10%로 증가함에 따라 재조합 단백질 수율이 감소하였다는 보고(17)와는 다른 것이었지만 비감염 세포의 최적 배양 조건과는 일치하며(14) AcNPV 감염시 serum 농도가 중요한 인자임을 나타낸다.

감염 시의 pH

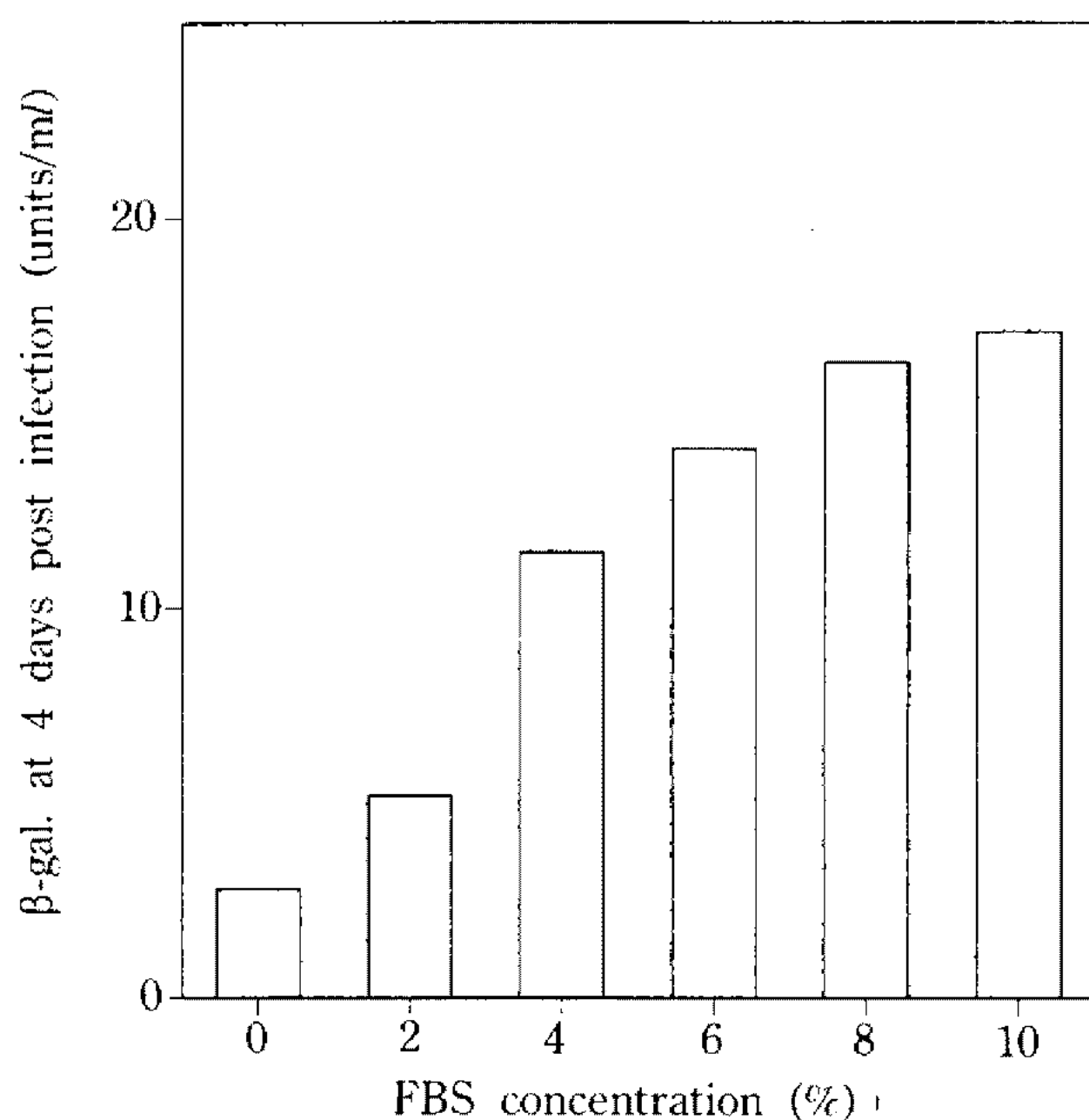


Fig. 1. Effect of serum concentration on recombinant β -gal production.

Initial cell density, 1.5×10^6 cells/plate. MOI, 0.5

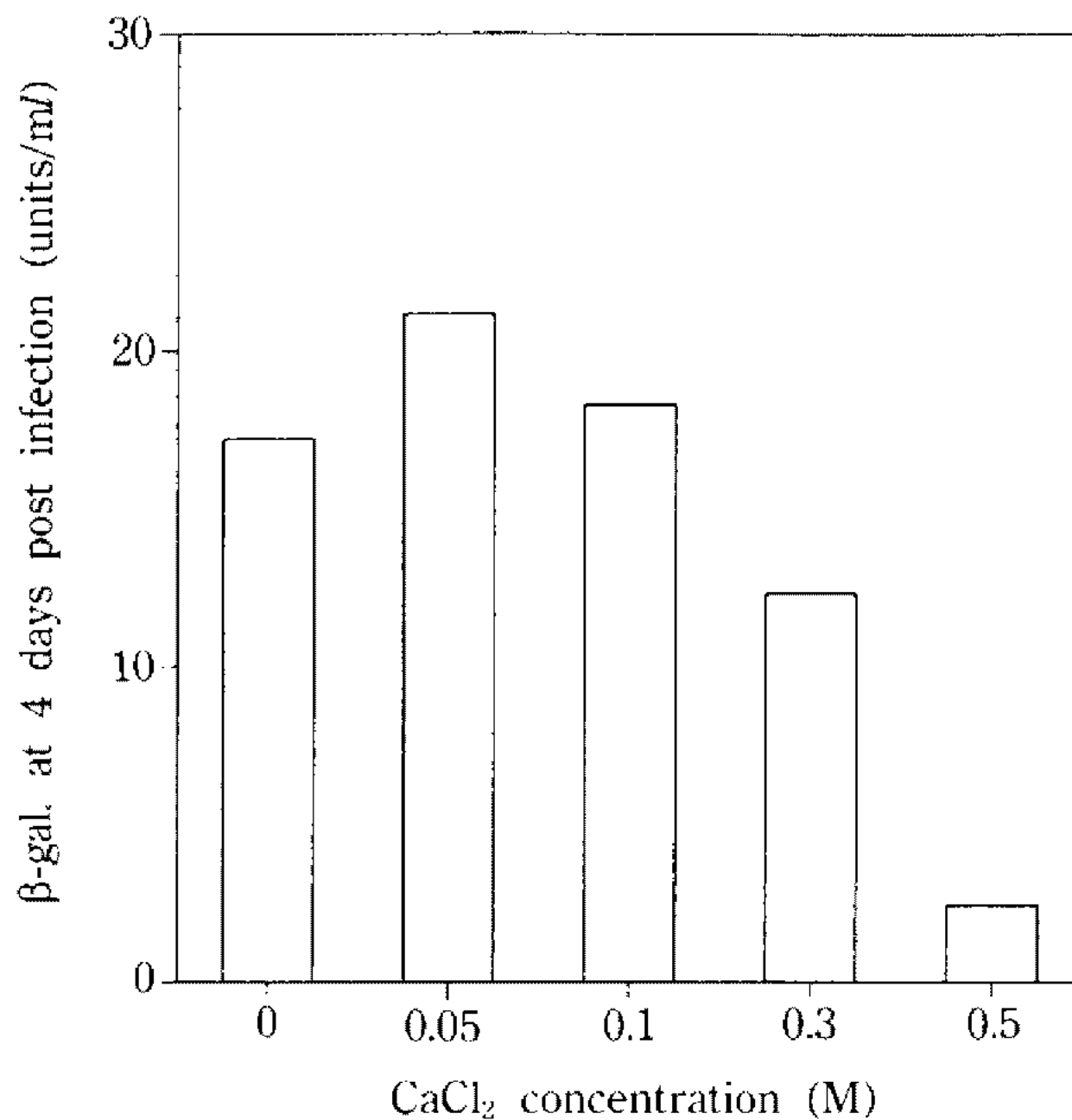


Fig. 3. Effect of CaCl₂ concentration on recombinant β -gal production.

Initial cell density, 1.5×10^6 cells/plate. MOI, 0.5

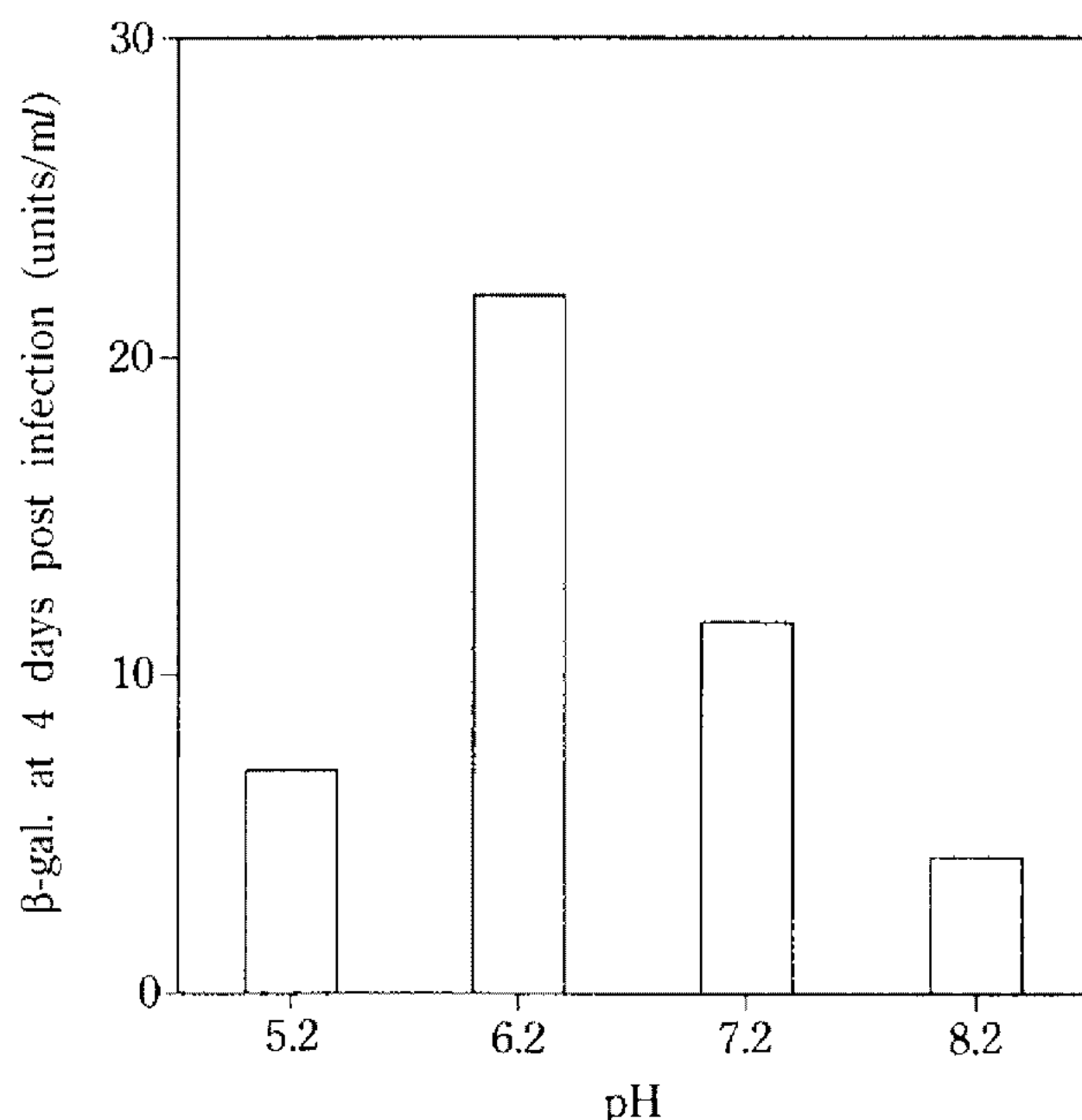


Fig. 2. Effect of pH on recombinant β -gal production.

Initial cell density, 1.5×10^6 cells/plate. MOI, 0.5

곤충 세포 배양시의 최적 pH는 6.0~6.25로 알려져 있다(9). AcNPV 감염시의 pH가 cell-virus interaction 또는 cell metabolism에 영향을 줄 수 있으므로 pH 변화에 따른 β -gal 생산량을 조사하였다. pH 5.2, 6.2, 7.2, 8.2로 맞추어진 배지에서 혈청 농도의 경우와 마찬가지로 실험하였는데 Fig. 2에서 보여주듯이 pH 6.2의 경우에 21 units/ml로 가장 높게 나타났다. 따

라서 이 실험에서 Sf-21에의 감염시 최적 pH는 세포 배양의 최적 조건과 일치함을 알 수 있었다.

감염 배지 중의 CaCl₂ 농도

Cell-cell interaction 및 cell metabolism 등에 영향을 주는 것으로 알려진 CaCl₂의 농도가 재조합 단백질 생산에 미치는 영향을 조사하였다(20). Fig. 3에 나타나 있듯이 사용한 CaCl₂의 첨가 농도에 따라 β -gal 생산에 현저한 차이를 보여주었는데 0 M에서 0.05 M로 증가할수록 β -gal 생산이 증가하다가 0.05 M 이상에서는 감소하였다. 이것은 0.05 M 이상으로 CaCl₂의 농도가 높을 때는 cell-virus interaction은 증가하지만 cell metabolism 자체에는 좋지 않은 영향을 주기 때문인 것 같다. 따라서 CaCl₂ 첨가 실험에서 β -gal 생산은 0.05 M이 최적인 것으로 보인다.

Lysosomotropic agent

Vaccinia virus를 HeLa 세포에 감염시킬 경우 endosome의 pH를 변화시켜서 virus 감염을 용이하게 해주는 것으로 보고된 lysosomotropic agent를 사용하여(21) 그 효과를 관찰하였다. Lysosomotropic agent로는 methylamine(CH₃·HCl)과 chloroquine(C₁₈H₂₆CIN₃·2H₃PO₄)을 사용하였다. Fig. 4에서와 같이 재조합 AcNPV의 경우는 vaccinia virus와는 달리 methylamine과 chloroquine이 β -gal 생산을 상당히

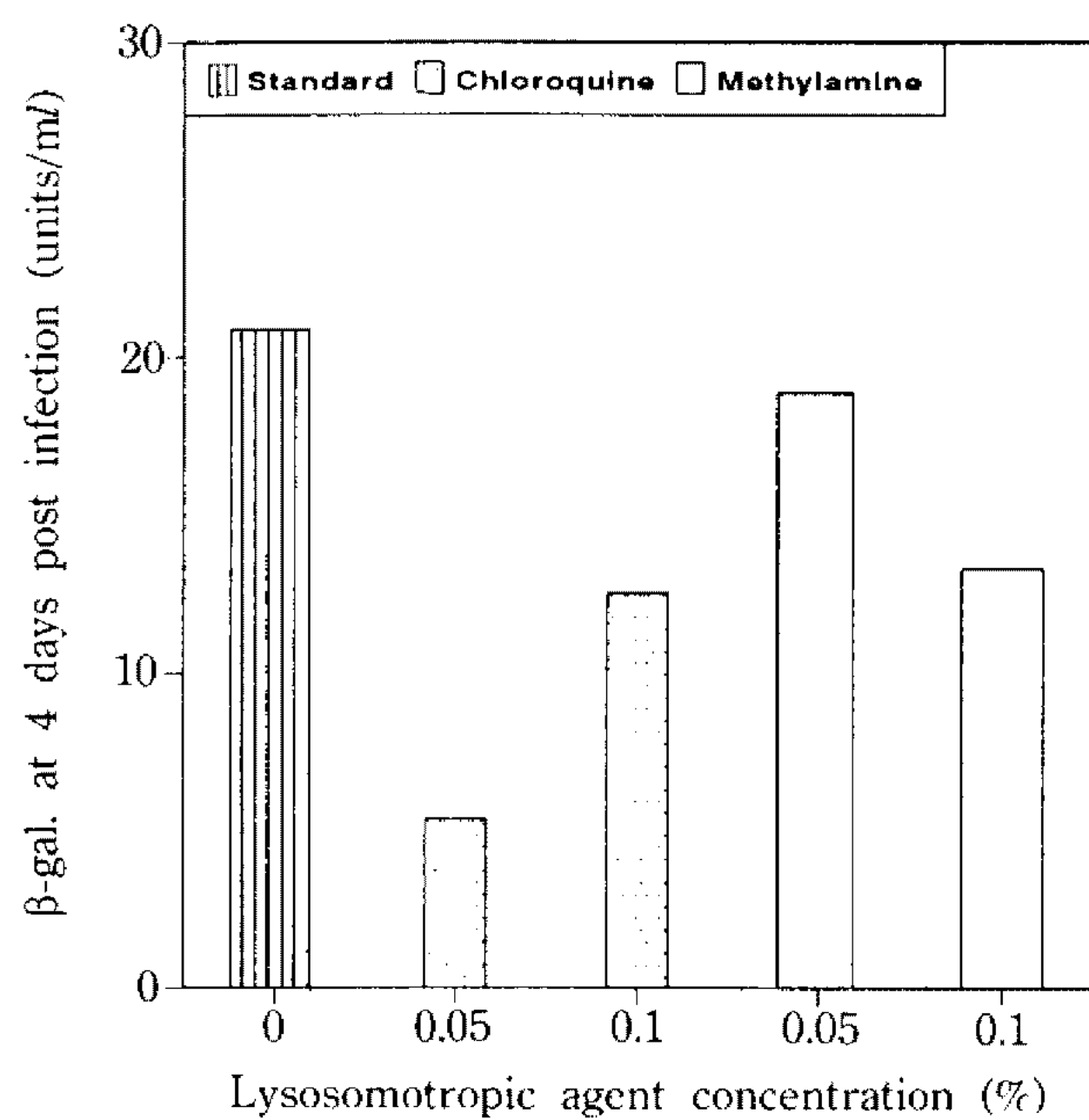


Fig. 4. Effect of lysosomotropic agent on recombinant β -gal production.

Initial cell density, 1.5×10^6 cells/plate. MOI, 0.5

억제함을 발견하였다. 이것은 Chloroquine 및 Methylamine은 acidic endosome의 pH를 증가시킴으로 endocytosis로 들어온 AcNPV의 세포내에서의 process 즉 receptor-ligand의 dissociation에 defect를 초래하여 재조합 β -gal 생산이 저해된 것으로 생각된다.

감염시의 세포 농도

Fig. 5는 β -galactosidase 생산에 감염시의 곤충 세포 농도의 영향을 살펴본 결과이다. AcNPV 감염시 숙주인 SF-21 세포의 농도가 1×10^5 cells/plate, 5×10^5 cells/plate, 1.5×10^6 cells/plate, 3×10^6 cells/plate 일 때 각각의 β -gal 생산 정도를 비교하여 보았다. 1.5×10^6 cells/plate에서 3×10^6 cells/plate까지는 비교적 좋은 β -gal 생산을 보여주는 것으로 나타났으며 이미 보고된 바(16, 17)와 같이 감염시의 세포 농도가 중요함을 알 수 있었다.

교반 속도

현탁 배양 중 교반 속도가 AcNPV 감염 과정에 미치는 영향을 조사하였다. 이 실험에는 0.3% methylcellulose를 첨가한 배지를 사용하였으며 재조합 AcNPV를 감염시킨 후 80, 100, 120 rpm의 교반 속도에서의 β -gal 생산량을 알아보았다(Fig. 6). β -gal 생산의 경우에 100 rpm이 80 rpm, 120 rpm에 비해 약간 높은 것으로 나타나 0.3% methylcellulose 첨가시 100

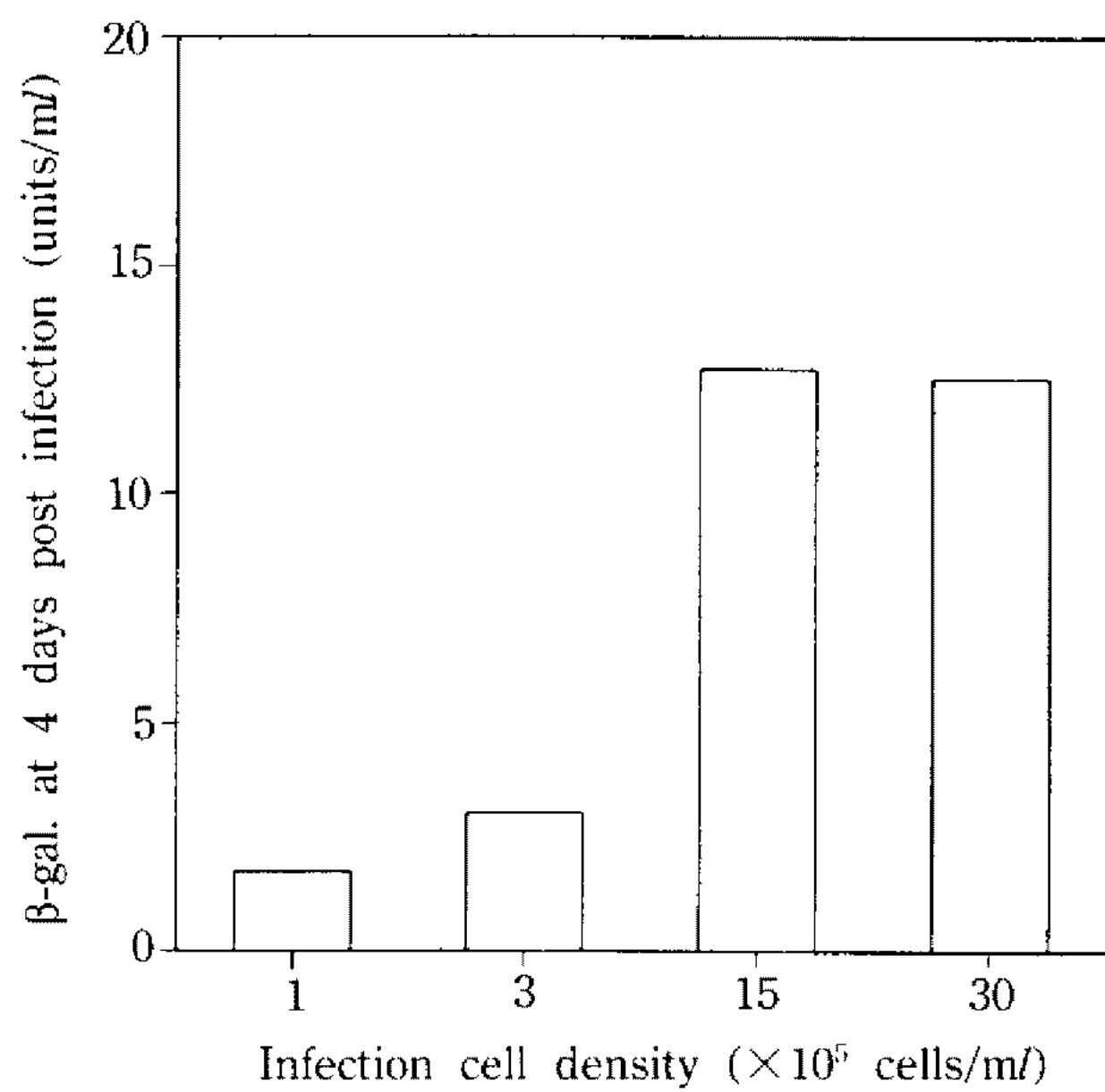


Fig. 5. Effect of cell density at infection on recombinant β -gal production.

MOI, 0.5

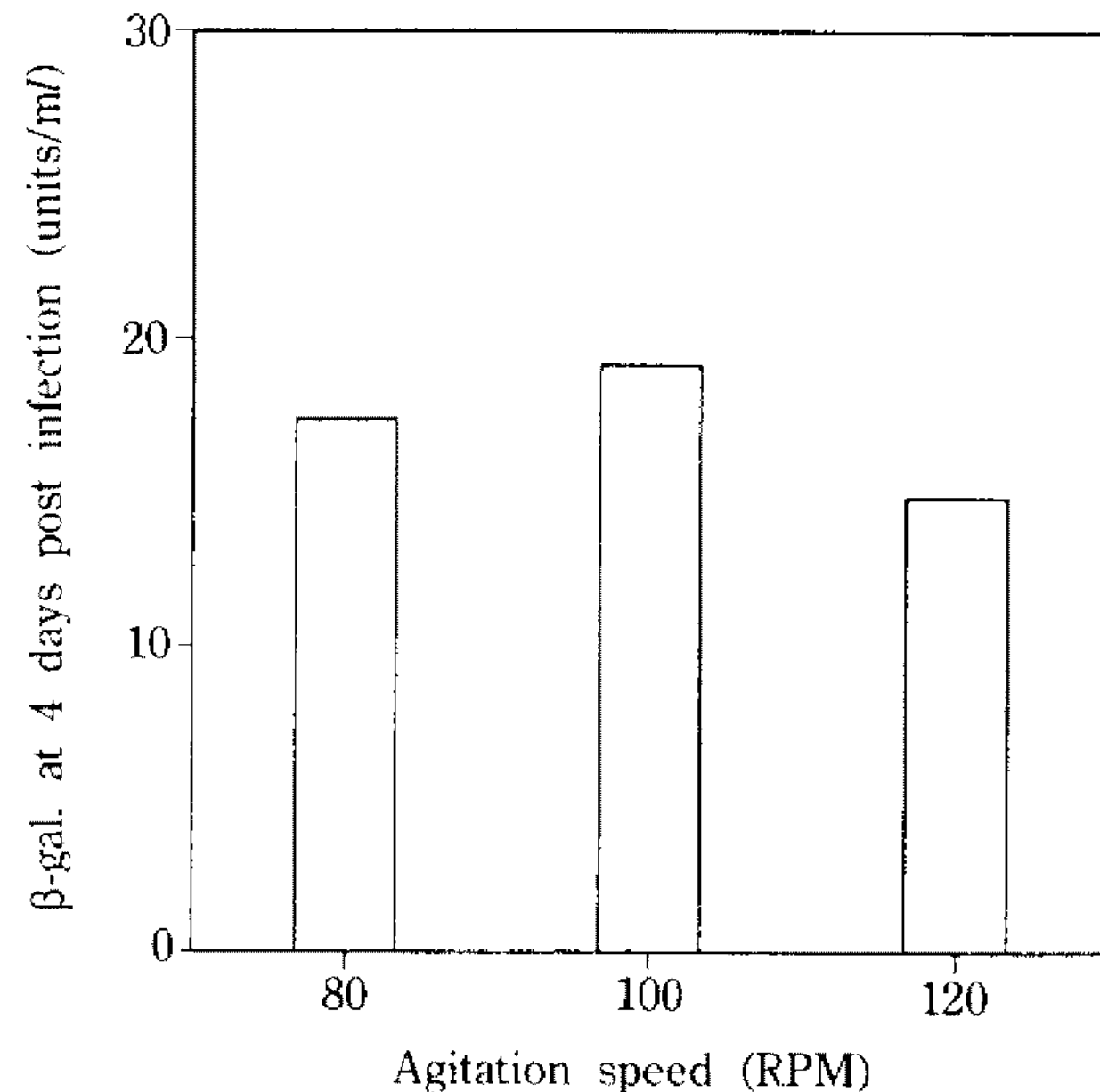


Fig. 6. Effect of agitation on recombinant β -gal production.

Initial cell density, 1×10^5 cells/ml. MOI, 10

rpm까지는 교반 속도를 높여도 좋은 것으로 생각된다. 이 조건에서 β -gal 생산량은 20 units/ml이었으며 감염 초기 세포 농도에 대한 specific productivity는 20 units/ 10^5 cells이었다. 그리고 감염 세포에 대한 이러한 최적 조건은 비감염 세포 배양에서 교반 속도의 영향에 관련된 타 연구자의 보고(14, 22-24)와 유사하였다.

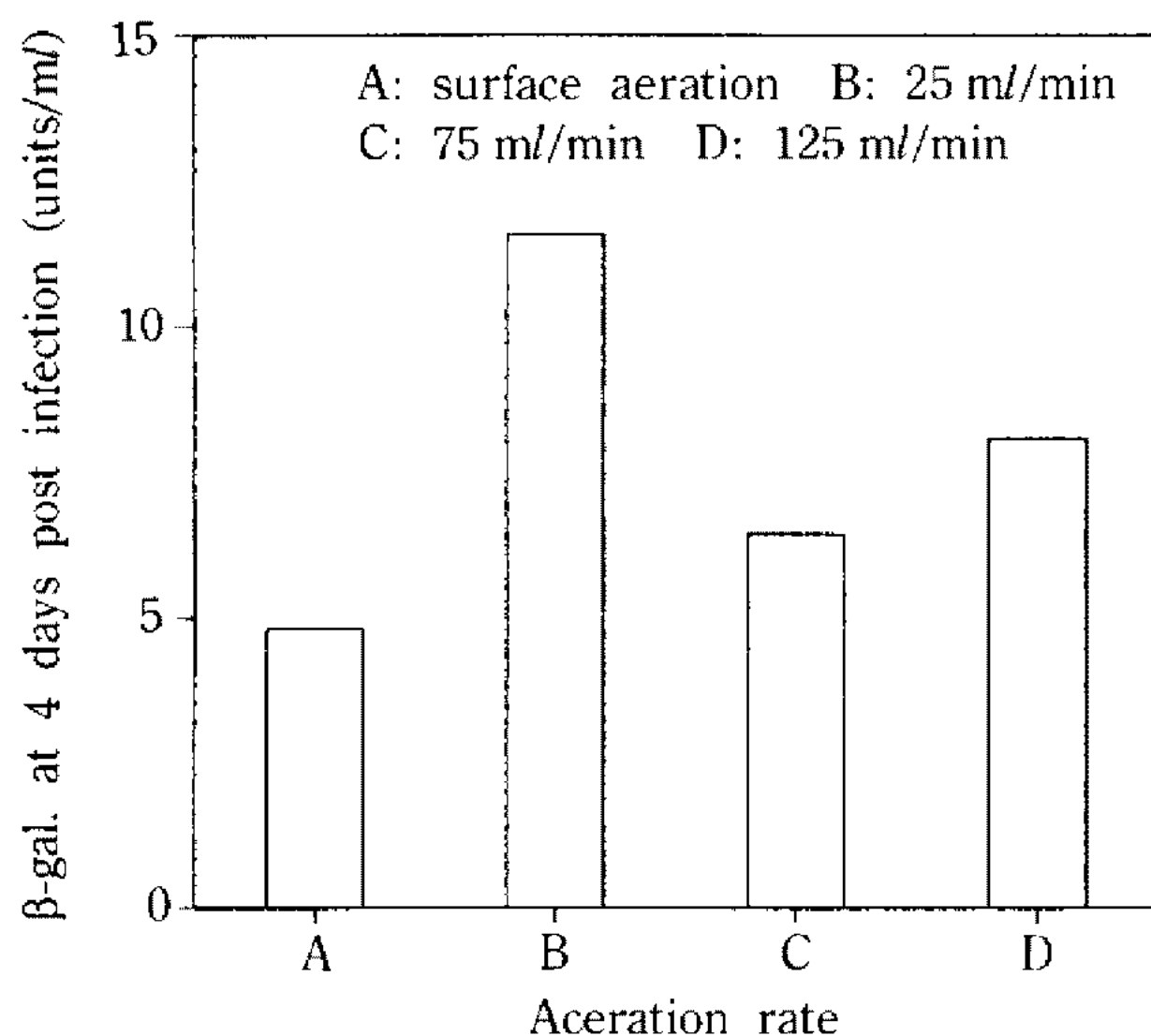


Fig. 7. Effect of aeration on recombinant β -gal production.

Agitation speed, 80 rpm. Initial cell density, 1.3×10^5 cells/ml. MOI, 10

통기량

곤충 세포는 mammalian cell처럼 산소 요구량이 크며 oxygen limitation에 민감한 것으로 알려져 있다(14, 25-27). 감염 세포내의 virus 복제시 통기의 영향을 알아보기 위하여 silicone tubing을 이용해서 25, 75, 125 ml/min으로 통기한 경우 및 25 ml/min의 surface aeration의 경우에 대하여 조사하였다. Surface aeration과 silicone tubing에서의 75 ml/min 및 125 ml/min의 통기 등 세 가지의 경우에는 거의 비슷한 정도였으나 25 ml/min의 silicone tubing에 의한 통기에서는 더 높은 농도의 β -galactosidase 생산되었다(Fig. 7). 따라서 감염 세포에서의 β -gal 생산에 최적 통기량이 존재함을 확인할 수 있었다.

영양 요구성

감염된 곤충 세포내에서 일어나는 바이러스 복제시의 영양 요구성을 알아보기 위하여 Grace 배지를 $0.5\times$, $1\times$, $2\times$ 로 준비하여 감염시의 배지로 이용하였다. Fig. 8은 시간에 따른 β -gal 농도를 나타낸 그림으로 $0.5\times$ 나 $2\times$ 에 비해 $1\times$ 배지가 훨씬 더 높은 수준을 유지하였다. 따라서, $1\times$ 배지를 기본 배지로 하고 곤충 세포 배지내의 중요 성분으로 알려진 당과 아미노산의 농도를 변화시켜 실험하였다(16, 28-29).

Glucose와 fructose의 성분만을 두 배($2\times$) 또는 세 배($3\times$) 더 첨가한 배지를 만들어 β -gal 생산성을 조사하였는데 Fig. 9에서 보는 바와 같이 glucose의 경우는 $1\times$, $2\times$, $3\times$ 모두 큰 차이는 없었지만 fruc-

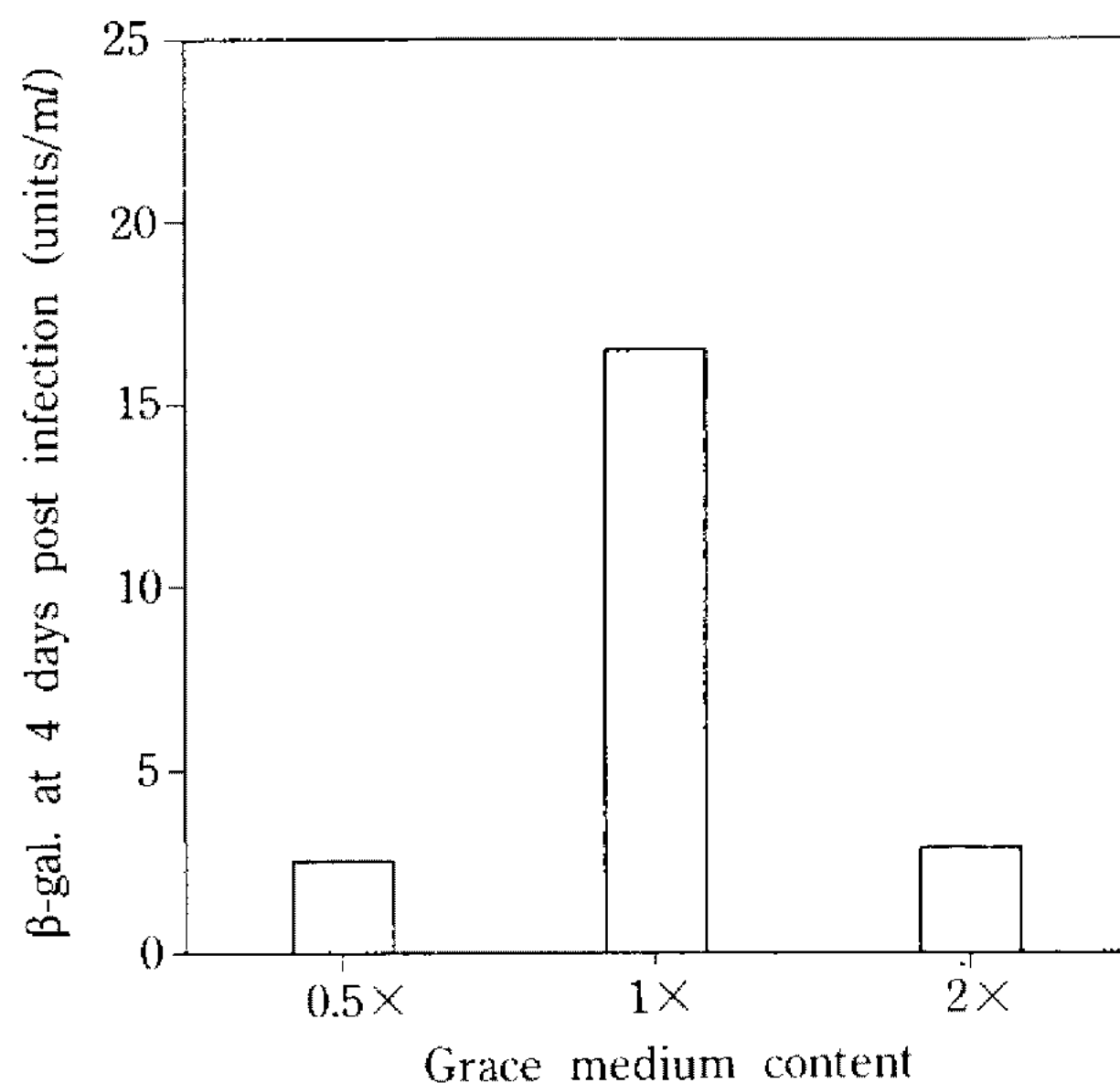


Fig. 8. Effect of Grace media on recombinant β -gal production.

Initial cell density, 1.6×10^6 cells/plate. MOI, 0.5

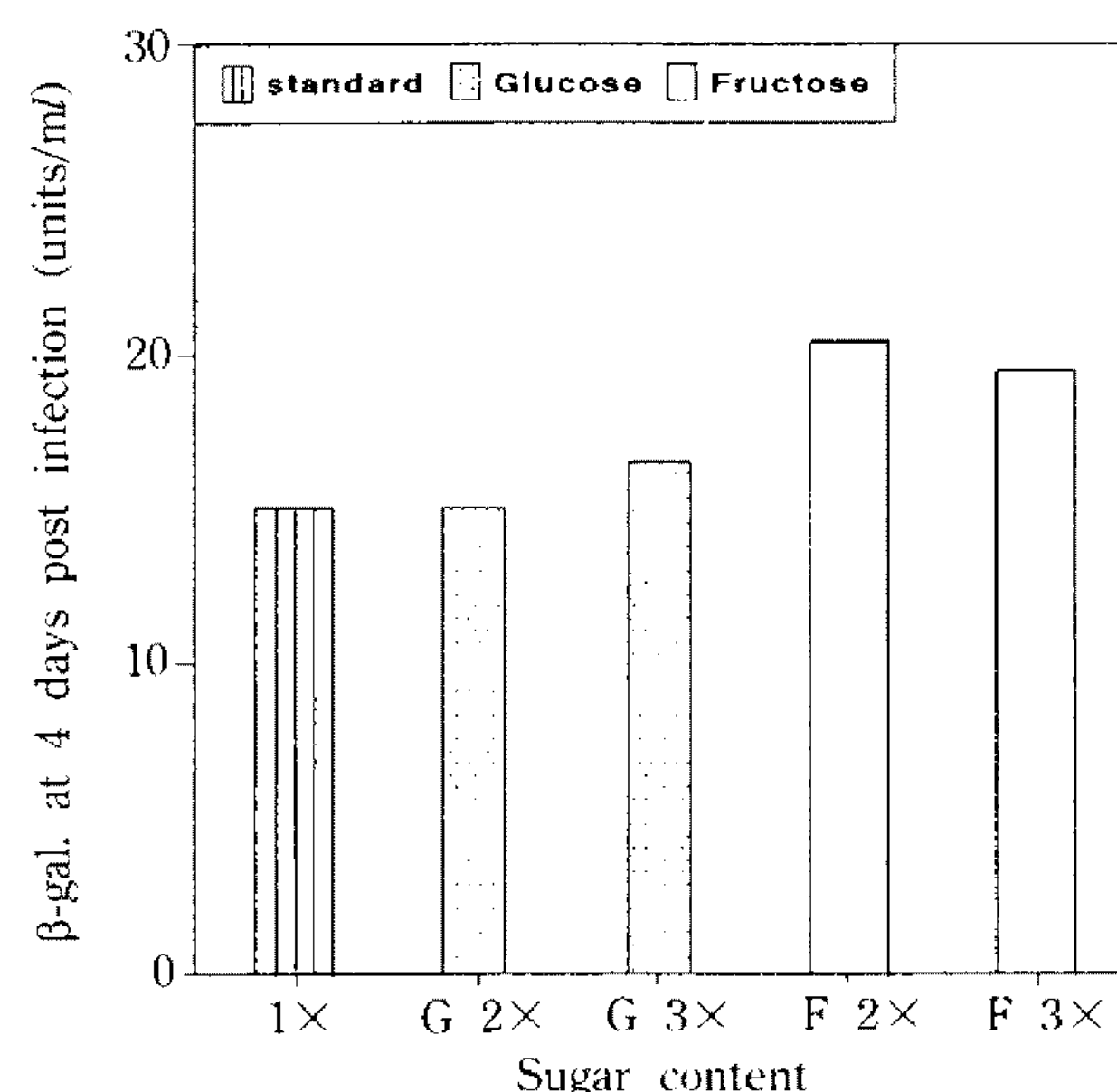


Fig. 9. Effect of glucose and fructose concentration on recombinant β -gal production.

Initial cell density, 2×10^6 cells/plate. MOI, 0.5

tose의 경우는 $2\times$ 배지에서 높은 β -gal 생산을 보여주었다. 아미노산의 경우는 glutamate, glutamine의 각각의 성분만을 두 배($2\times$) 또는 세 배($3\times$)로 더 첨가하여 실험해 보았다. Glutamine의 경우는 $2\times$ 와 $3\times$ 배지에서 β -gal 생산이 감소하였지만 glutamate의 경우는 $2\times$ 배지에서 높은 β -gal 생산을 보여주었다(Fig. 10). 따라서 배지에 영양원으로써 fructose와 glutamate의 보강 첨가는 β -gal 생산을 향상시킴을 알 수 있었다.

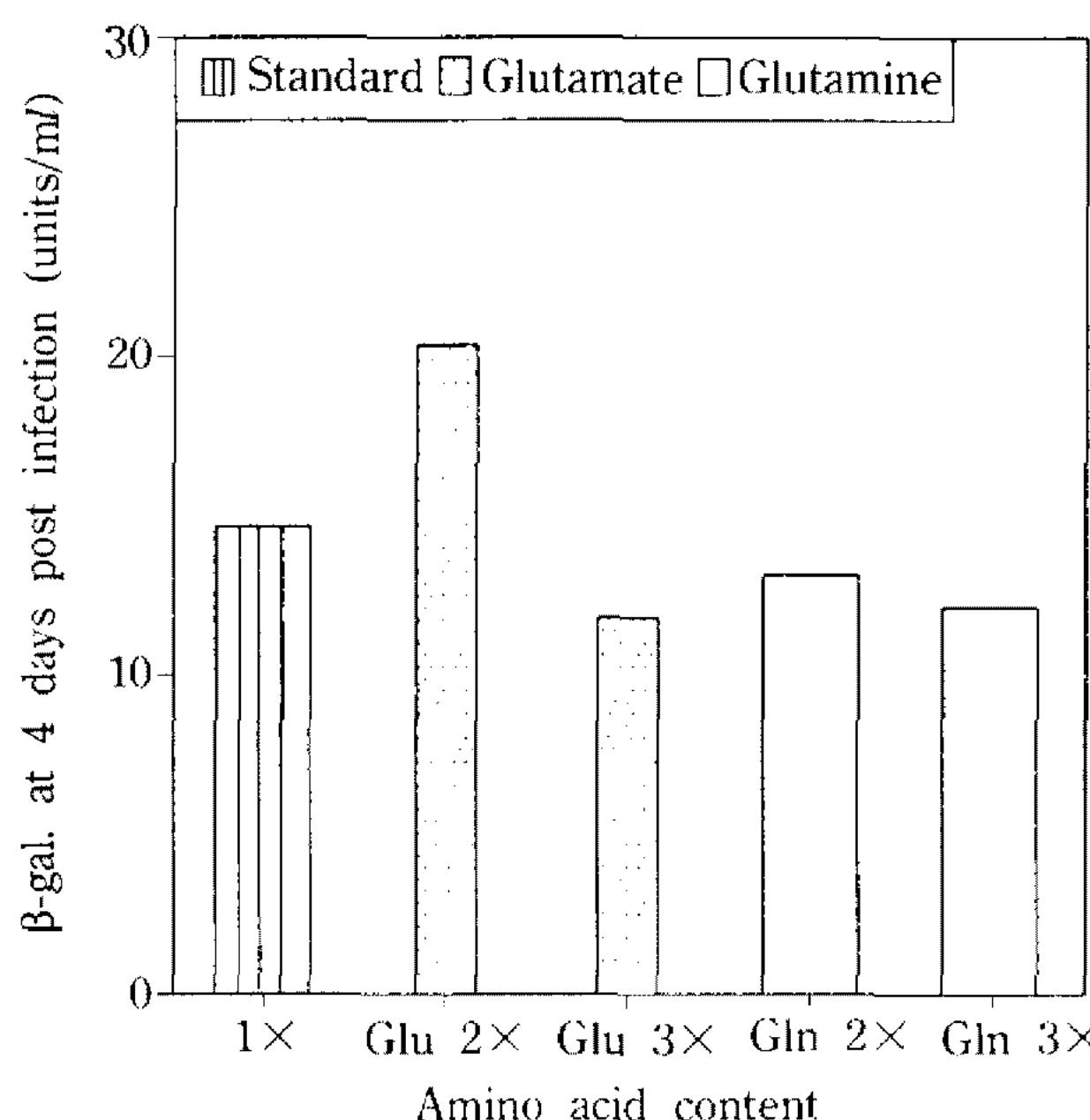


Fig. 10. Effect of glutamate and glutamine concentration on recombinant β -gal production.

Initial cell density, 2×10^6 cells/plate. MOI, 0.5

요약

Tissue culture flask, bottle 및 spinner flask를 이용하여 *Autographa californica* nuclear polyhedrosis virus의 Sf-21 세포에의 감염시 혈청의 농도, pH, CaCl_2 의 농도, lysosomotropic agent, 감염시의 세포 농도, 교반 속도, 통기량, 영양 요구성 등 여러가지 감염 조건의 재조합 단백질 생산에 대한 영향을 살펴보았다. AcNPV의 재조합 단백질 생산은 혈청의 농도, CaCl_2 , pH, 감염시의 세포 농도에 영향을 받았으나 lysosomotropic agent는 β -gal 생산을 높이는데 효과적이지 못했다. 교반 속도는 100 rpm에서 높은 β -gal 농도를 보여주었으며 실리콘 튜빙을 이용한 25 ml/min의 통기량에서 높은 β -gal이 생산되었다. 배지내의 fructose와 glutamate의 보강 첨가는 β -gal 생산을 향상시키는 것을 알 수 있었다.

감사의 말

본 연구는 91년도 과학 재단 목적 기초 연구비 지원(과제번호 : 91-0500-13)에 의하여 수행되었으며, 이에 감사드립니다.

참고문헌

1. Smith, G.E., M.D. Summers and M.J. Frazer.

1983. Production of human beta interferon in insect cells infected with a baculovirus expression vector. *Mol. Cell. Biol.* **3**: 2156-2165.
2. Mariarella, B., D. Inlow, A. Shauger and D. Harrane. 1990. Large-Scale insect cell-culture for recombinant protein production. *Bio/Technology*. **6**: 1406-1410.
3. Luckow, V.A. and M.D. Summers. 1988. Trends in the development of baculovirus expression vectors. *Bio/technology*. **6**: 47-55.
4. Jarvis, D.L., J.A.G.W. Fleming, G.R. Kovacs, M. D. Summers and L.A. Guarino. 1990. Use of early baculovirus bromoters for continuous expression and efficient processing of foreign gene products in stably transformed lepidopteran cells. *Bio/Technology*. **8**: 950-955.
5. Luckow, V.A. 1991. Cloning and expression of heterologous genes in insect cells with baculovirus vectors, Pp. 97-152. In Prokop, A., R.K. Bajpai and C.S. Ho(eds), *Recombinant DNA Technology and Applications*, McGraw-Hill, New York.
6. Friesen, P.D. and L.K. Miller. 1986. The regulation of baculovirus gene expression, Pp. 31-50. In Doerfler, W. and P. Boehm(eds), *The Molecular Biology of Baculoviruses*, Springer-Verlag, Berlin.
7. Thiem, S.M. and L.K. Miller. 1989. Identification, sequence and transcriptional mapping of the major capsid protein gene of the baculovirus *Autographa californica* nuclear polyhedrosis. *J. Virol.* **63**: 2008-2018.
8. Thiem, S.M. and L.K. Miller. 1990. Differential gene expression mediated by late, very late and hybrid baculovirus promoters. *Gene*. **91**: 89-94.
9. 김학렬, 정인식. 1991. 곤충 세포의 혼탁 배양 기술. 생물화공. **5**: 28-35.
10. Murhammer, D.W. and C.F. Goochee. 1988. Scallop of insect cell cultures: Protective effects of Pluronic F-68. *Bio/Technology*. **6**: 1411-1418.
11. Wu, J., G. King, A.J. Daugulis, P. Faulkner, D.H. Bone and M.F.A. Goosen. 1989. Engineering aspects of insect cell suspension culture: a review. *Appl. Microbial. Biotechnol.* **32**: 249-255.
12. Van Lier, F.L., E.T van den End, C.D. de Gooijer, J.M. Vlak and J. Tramper. 1990. Continuous production of baculovirus in a cascade of insect-cell reactors. *Appl. Microbial. Biotechnol.* **33**: 43-47.
13. Wu, S.C., B.E. Dale and J.C. Liao. 1993. Kinetic characterization of baculovirus-induced cell death in insect cell culture. *Biotechnol. and Bioeng.* **41**: 104-110.
14. Park, Y.M. 1991. Development of mass production system of useful proteins in insect cells. M.S.

- Thesis, Kyunghee University, Korea.
15. Broussard, D.R. and M.D. Summers. 1989. Effect of serum concentration and media composition on the level of polyhedrosis and foreign gene expression by baculovirus vectors. *J. Invert. Pathol.* **52**: 144-150.
 16. Caron, A.W., J. Kamen, and B. Massie. 1990. High-level recombinant protein production in bioreactors using the baculovirus insect cell expression system. *Biotechnol. and Bioeng.* **36**: 1133-1140.
 17. Lazarte, J.E., P.F. Tosi and C. Niclau. 1992. Optimization of the production of full-length rCD4 in baculovirus-infected Sf 9 cells. *Biotechnol. and Bioeng.* **40**: 214-217.
 18. Summers, M.D. and G.E. Smith. 1987. A manual of methods for baculovirus vectors and insect cell culture procedures. Texas A & M university, Texas.
 19. Miller, J.H. 1992. Assay of beta-galactosidase, Pp. 352-355. In *Experiments in molecular biology*. Cold Spring Harbor, New York.
 20. Prokop, A. 1991. Implications of cell biology in animal cell biotechnology, Pp. 21-58. In Ho, C.S. and D.I.C. Wang(eds), *Animal Cell Bioreactors*, Butterworth-Heinemann, U.S.A.
 21. Chillakuru, R.A., D.D.Y. Ryu and T. Yilmaz. 1991. Propagation of recombinant vaccinia virus in HeLa cells. *Biotechnol. Prog.* **7**: 85-92.
 22. Agathos, S.N., Y.H. Jeong, A.M. Fallon and K. Venkat. 1990. Growth kinetics of free and immobilized insect cell cultures. *Ann. N.Y. Acad. Sci.* **589**: 372-398.
 23. 김학렬. 1992. 곤충 세포를 이용한 재조합 단백질 생산의 최적화 및 생물 반응기 개발, 석사학위논문, 경희대학교.
 24. Neutra, R., B.Z. Levi and Y. Shoham. 1992. Optimization of protein production by the baculovirus vector systemin shake flasks. *Appl. Microbiol. and Biotechnol.* **37**: 74-78.
 25. Street, D.A. and W.F. Hink. 1978. Oxygen consumption of *Trichoplusia ni* (TN-368) insect cell line infected with *Autographa californica* nuclear polyhedrosis virus. *J. Invert. Pathol.* **32**: 112-113.
 26. Murhammer, D.W. and C.F. Gooch. 1990. Sparged animal cell bioreactors: Mechanism of cell damage and pluronic F-68 production. *Biotechnol. Prog.* **6**: 395-397.
 27. Scott, R.I., J.H. Blanchard and C.H.R. Ferguson. 1992. Effect of oxygen on recombinant protein production by suspension cultures of *Spodoptera frugiperda* (Sf-9) insect cells. *Enzyme Microb. Technol.* **14**: 798-804.
 28. Kamen, A.A., R.L. Thon, A.W. Caron, C. Chavarie, B. Massie and J. Archambault. 1991. Culture of insect cells in a helical ribbon impeller bioreactor. *Biotechnol. and Bioeng.* **38**: 619-628.
 29. Wang, M.Y., S. Kwong and W.E. Bentley. 1993. Effect of Oxygen/Glucose/glutamine feeding on insect cell-baculovirus expression: A study on epoxide hydrolase production. *Biotechnol. Prog.* **9**: 355-361.

(Received August 26, 1993)